

طراحی و ساخت حسگر الکتروشیمیایی نانوکامپوزیتی گرافن- بتاسیکلودکسترين به منظور جذب اختصاصی داروهای کورکومین، کلروپرومازین و کلومپیرامین

بهزاد میرزایی^۱، علی ضرابی^{*}^۲، محمد رفیعی نیا^۳

(تاریخ دریافت: ۱۳۹۴/۰۳/۱۰، ش.ص ۱۲۴-۱۱۳، تاریخ پذیرش ۱۳۹۴/۰۹/۰۱)

چکیده

در این پژوهش یک حسگر الکتروشیمیایی جدید به منظور شناسایی داروهای کورکومین، کلروپرومازین و کلومپیرامین طراحی و ساخته شد. در این حسگر از الکترود کربن شیشه‌ای اصلاح شده با نانوکامپوزیت گرافن- بتاسیکلودکسترين استفاده شد. نانوکامپوزیت گرافن- بتاسیکلودکسترين با استفاده از طیفسنجی مادون قرمز فوريه، ميكروسکوب الکتروني با حد تفکيک بالا، ولتايتري چرخه‌اي و تكنيك اميدانس الکتروشیمیایی مشخصه‌يابی شد. نتائج FTIR به خوبی نشان داد که مولکول‌های بتاسیکلودکسترين با پيوندهای هيدروزني به صفحات گرافنی متصل می‌شوند. تصاویر ميكروسکوب الکتروني نشان داد که مولکول‌های بتاسیکلودکسترين به طور همگن روی سطح صفحات گرافنی توزيع شده‌اند. حسگر ساخته شده پاسخ الکتروشیمیایی مناسبی به داروهای مذکور با استفاده از روش ولتايتري پالس تفاضلي نشان داد و برای داروهای کورکومین، کلروپرومازین و کلومپیرامین به ترتيب پيك‌های اکسایشی ۴۸/۰ ولت، ۶۱/۰ ولت و ۳۱/۰ ولت ثبت گردید.

واژه‌های کلیدی: گرافن اکسید، بتاسیکلودکسترين، نانوکامپوزيت، حسگری الکتروشیمیایی.

^۱- دانشجوی کارشناسی ارشد، دانشگاه اصفهان، دانشکده علوم و فناوری‌های نوین، گروه زیست فناوری، اصفهان، ایران
^۲- استادیار، دانشگاه اصفهان، دانشکده علوم و فناوری‌های نوین، گروه زیست فناوری، اصفهان، ایران
^۳- دانشیار، دانشگاه علوم پزشکی اصفهان، اصفهان، ایران
 *- نویسنده مسئول مقاله: a.zarrabi@ast.ui.ac.ir

چنین خاصیتی می‌تواند در حسگرها به عنوان یک عنصر تشخیصی به کار گرفته شوند.

امروزه نانوکامپوزیت‌های مختلف در زمینه‌های مختلف کاربردهای فراوانی یافته‌اند [۱۴]. مولکول‌های بتاسیکلودکستربن، قادر هستند با صفحات گرافنی یک نانوکامپوزیت منحصر به فرد تشکیل دهند. نانوکامپوزیت گرافن- بتاسیکلودکستربن (β -CD-GO) به دلیل خواص منحصر به فرد گرافن (رسانایی الکتریکی و ناحیه سطحی بالا) و بتاسیکلودکستربن (توانایی تشکیل کمپلکس درجا با مولکول‌های آب‌گریز کوچک) کاربردهای فراوانی در حوزه حسگرهای الکتروشیمیایی دارند [۱۵, ۱۶].

در حسگرهای الکتروشیمیایی یکی از مهم‌ترین آزمایش‌ها برای بررسی میزان جریان عبوری از سطح حسگر روش ولتاوتمتری چرخه‌ای است. برای یک آزمون ولتاوتمتری چرخه‌ای ساده، جریان پیک اندازه‌گیری شده به عوامل متعددی بستگی دارد. معادله زیر ارتباط جریان الکتریکی عبوری از سطح الکترود را با سایر عوامل نشان می‌دهد [۱۷]:

$$i_p = (2.69 \times 10^5) n^{3/2} A D_0^{1/2} C_0^{1/2} U^{1/2}$$

که در آن i_p جریان الکتریکی اندازه‌گیری شده در سطح الکترود برحسب آمپر، n تعداد الکترون‌های لازم برای اکسید یا احیا شدن یک مولکول از گونه الکتروفعال مورد نظر، A سطح موثر الکترود برحسب سانتی‌متر مربع، C_0 غلظت اولیه آنالیت با واحد مول بر سانتی‌متر مکعب، D_0 ضریب نفوذ گونه مورد نظر بر حسب سانتی‌متر مربع بر ثانیه و U سرعت روبش بر حسب ولت بر ثانیه می‌باشد. به هنگام انجام آزمون درون محلول فری/فروسیانید یک واکنش اکسایشی- کاهشی رخ می‌دهد؛ یون فری سیانید $[Fe(CN)_6]^{3-}$ دارای عنصر آهن (III) می‌باشد و یون فری سیانید $[Fe(CN)_6]^{4-}$ دارای عنصر آهن (II) می‌باشد. یون فری سیانید با دریافت یک الکترون می‌تواند به سادگی احیا شود و به یون فروسیانید تبدیل شود. این واکنش در جهت عکس نیز انجام‌پذیر است. . به این صورت که یون فروسیانید با از دست دادن یک الکترون اکسید می‌شود و به یون فری سیانید تبدیل می‌شود.

پیشگفتار

حسگرهای الکتروشیمیایی در آنالیز و شناسایی بسیاری از ترکیبات آلی و غیر آلی استفاده شده‌اند [۱]. در سال‌های اخیر به کارگیری نانومواد در این حسگرها بسیار مورد توجه بوده است. طیف وسیعی از نانوساختارها از قبیل نانولوله‌های کربنی، نانوذرات، نانوسیم‌ها و نانوکامپوزیت‌ها به علت ناحیه سطحی بالا، خواص الکتریکی مناسب و پایداری بالا در حسگرهای الکتروشیمیایی به کار گرفته شده‌اند. به علاوه استفاده از نانومواد در حسگرهای الکتروشیمیایی موجب استفاده آسان، کارایی بسیار بالا و قابل حمل بودن این حسگرها شده است [۲, ۳].

گرافن^۱، آرایش دو بعدی جدیدی از اتم‌های کربن است که در سال ۲۰۰۴ کشف شد [۴]. این نانو ساختار ویژگی‌های فوق العاده‌ای از قبیل نسبت سطح به حجم بالا، رسانایی الکتریکی و حرارتی بسیار بالا و همچنین سختی بسیار بالایی را دارا می‌باشد. از این‌رو این ماده افق جدیدی در علوم فیزیک، شیمی و علم مواد باز کرده است. نانوساختارهای مبتنی بر گرافن به دلیل وجود همین خواص منحصر به‌فرد، کاربردهای فراوانی در حسگرهای الکتروشیمیایی دارند [۵, ۶]. از حسگرهای مبتنی بر گرافن جهت شناسایی بسیاری از ترکیبات از جمله گلوکز [۷]، دوپامین [۸] و فلزات سنگین [۹] استفاده شده است.

بتاسیکلودکستربن^۲ (β -CD)، یک اولیگوساکارید حلقوی است که از ۷ واحد گلوكوپیرانوزی تشکیل شده است. این مولکول دارای یک حفره درونی آب‌گریز و یک بخش بیرونی آب دوست است [۱۰]. مولکول‌های بتاسیکلودکستربن به دلیل توانایی تشکیل کمپلکس با مولکول‌های آب‌گریز کوچک می‌تواند، موجب جذب اختصاصی این مولکول‌ها درون حفره خود گردد. در نتیجه‌ی وجود چنین ساختاری، این مولکول قادر است با بسیاری از مولکول‌های آب‌گریز کمپلکس درجا تشکیل دهد [۱۱-۱۳]. مولکول‌های بتاسیکلودکستربن با داشتن

¹- Graphene

²- Beta cyclodextrin

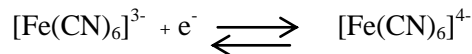
ساخت گرافن اکسید

برای ساختن گرافن اکسید (GO) از روش اصلاح شده هامر طبق دستورالعمل زیر استفاده شد [۱۸]: ۳۶ میلی لیتر اسید سولفوریک با خلوص ۹۸ درصد و ۴ میلی لیتر اسید فسفریک غلیظ با خلوص ۹۸ درصد (با نسبت ۹ به ۱) را با هم مخلوط شد و ۰/۳ گرم پودر گرافیت و ۱/۸ گرم پرمنگنات پتاسیم را به آن اضافه گردید و ظرف واکنش را بر روی همزدن در حال همزدن به صورت آرام در دمای ۵۰ درجه برای مدت ۱۲ ساعت قرار داده شد. پس از ۱۲ ساعت حرارت همزدن را قطع کرده و حدود ۴۰ میلی لیتر بخ به ظرف واکنش اضافه کرده و منتظر می‌مانیم تا محلول با محیط هم دما شود، سپس حدود ۲/۵ میلی لیتر آب اکسیژنه ۲۵ درصد با هدف اکسیژن دار کردن گرافن به آن اضافه می‌کنیم. در این مرحله یک واکنش گرمایش اتفاق می‌افتد. در این مرحله اجازه می‌دهیم محلول حدود ۴۰ دقیقه در حالت همزدن باقی بماند تا با محیط هم دما گردد. پس از ۴۰ دقیقه محلول زرد رنگی به دست می‌آید که آن را حدود ۱۵ دقیقه با سرعت ۶۰۰۰ دور بر دقیقه سانتریوفیوز کرده و محلول رویی دور ریخته می‌شود. رسوب باقی مانده را که همان اکسید گرافن ورقه‌ورقه شده است به ترتیب دو مرتبه توسط ۲۰ میلی لیتر آب دوبار تقطیر شده، دو مرتبه توسط ۲۰ میلی لیتر اسید کلریدریک ۳۰ درصد و دو مرتبه توسط ۲۰ میلی لیتر اتانول ۹۶ درصد توسط همزدن در دمای اتاق شست و شو (جمعاً ۶ مرتبه) می‌شود. پس از هر مرحله شست و شو محلول مورد نظر با سرعت ۶۰۰۰ دور بر دقیقه سانتریوفیوز می‌شود و محلول رویی دور ریخته می‌شود. در مرحله آخر رسوب زرد رنگ را به مدت یک شبانه روز در دستگاه آون خلا در دمای اتاق تحت فشار کمتر از ۸ میلی بار خشک می‌کنیم.

ساخت نانوکامپوزیت گرافن- بتاسیکلودکسترین

در این پژوهش نانوکامپوزیت گرافن- بتاسیکلودکسترین به روش زیر ساخته شد [۱۵]: ۲۰ میلی لیتر از محلول آبی همگن ۱ میلی گرم بر میلی لیتر گرافن اکسید درون ظرف ریخته شد، سپس به ظرف ۲۰ میلی لیتر از محلول آبی بتاسیکلودکسترین با غلظت ۱ میلی گرم بر میلی لیتر اضافه گردید. در ادامه حدود ۳۰۰

بنابراین، هنگامی که به یک محلول الکتروولیت شامل فری/فروسیانید پتانسیل رفت و برگشتی اعمال می‌شود، چنین واکنش‌های اکسایشی و کاهشی در سطح الکترود به وقوع می‌پیوندد و ولتاژ‌گرام‌های چرخه‌ای ثبت می‌گردد که دارای پیک‌های اکسایشی و کاهشی می‌باشند. در زیر واکنش فری/سیانید و فروسیانید به هنگام اکسایش و کاهش نشان داده شده است:



با توجه به توضیحات ارائه شده و معادله مربوط به جریان عبوری از سطح الکترود، میزان جریان عبوری از سطح الکترود با سطح موثر الکترود رابطه مستقیم دارد.

در این پژوهش نانوکامپوزیت گرافن- بتاسیکلودکسترین با هدف حسگری و شناسایی برخی از داروهای آب‌گریز از جمله کورکومین^۱، کلروپرومایزین^۲ و کلومیپرامین^۳ به روش الکتروشیمیایی ساخته شده است.

مواد و روش‌ها

پودر گرافیت، بتاسیکلودکسترین، کورکومین و کلروپرومایزین از شرکت سیگما خریداری شد. الکترود کربن شیشه‌ای^۴ از شرکت آذر الکترو تبریز تهیه شد. سایر مواد از جمله پرمنگنات پتاسیم، اسید سولفوریک، اسید فسفریک، اسید هیدرکلریک، نمک‌های فسفات از شرکت مرک آلمان خریداری شد. کلیه آزمایش‌های الکتروشیمیایی مرتبط با کار توسط یک دستگاه اتوب ساخت کشور هلند و مجهز به نرم افزار Nova 1.9 انجام شد. در این پژوهش از دستگاه طیف سنجی مادون قرمز فوریه JASC ساخت کشور ژاپن استفاده شد. تصاویر میکروسکوپ الکترونی نیز با دستگاه JEM-2100F ساخت کشور ژاپن تهیه شد.

¹- Curcumin

²- Chlorpromazine

³- Clomipramine

⁴- Glassy Carbon Electrode

لیتر از محلول 0.3M مولار KCl حل شد تا محلول 5mL مولار فری/فروسیانید به دست آید. از این محلول به منظور الکتروولیت در بررسی سطوح الکترودهای اصلاح شده استفاده خواهد شد.

تهیه بافر فسفات 1.0M مولار

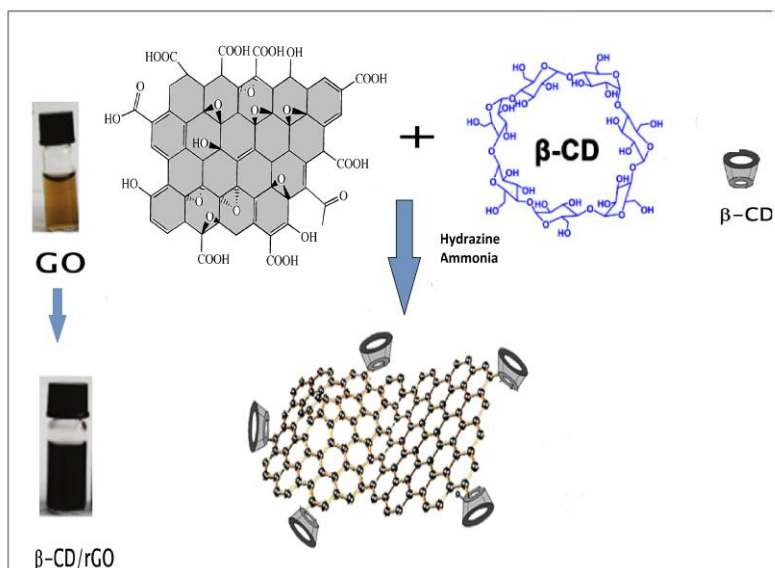
برای این کار مقدار 0.435g نمک پتابسیم هیدروژن فسفات با 0.34g نمک پتابسیم دی-هیدروژن فسفات درون 25mL لیتر آب حل گردید. pH محلول حاصل 7 بود.

آماده سازی الکترود گربن شیشه‌ای قبل از اصلاح سطح آن
قبل از هر آزمایش الکتروشیمیایی لزوماً بایستی از عدم آلودگی سطح الکترود گربن شیشه‌ای اطمینان حاصل شود. به همین منظور پیش از اصلاح سطح الکترود ابتدا الکترود توسط پودر آلومینا به مدت 5 الی 10 دقیقه پولیش داده می‌شود؛ سپس چندین مرتبه توسط آب مقطر شست و شو داده می‌شود. به منظور حصول اطمینان از عدم آلودگی سطح الکترود از تکنیک‌های امپدانس الکتروشیمیایی و ولتاوتمتری چرخه‌ای استفاده می‌شود.

میکرولیتر از محلول آمونیاک و $20\text{ }\mu\text{l}$ میکرولیتر از محلول هیدرازین مونوهیدرات به مخلوط واکنش اضافه گردید. پس از چند دقیقه همزدن شدید ظرف واکنش درون حمام آب 60°C تحت همزدن قرار گرفت؛ پس از گذشت 4 ساعت محلول سیاهرنگ همگنی به دست آمد. در ادامه محلول مورد نظر به مدت 15 دقیقه با سرعت 10000 دور بر دقیقه سانتریفیوژ شد و محلول رویی به منظور حذف هیدرازین دور ریخته شد و رسوب مورد نظر دو مرتبه با آب دوبار یونیزه شست و شو داده شد به همین منظور در هر مرتبه 20mL لیتر آب دوبار یونیزه به هر ظرف اضافه شد و پس از حل کردن کامل حدود چند دقیقه درون سونیکیتور قرار گرفت و مجدداً به مدت 15 دقیقه سانتریفیوژ شد. در نهایت رسوب مورد نظر درون دستگاه آون خلاء در دمای 30°C درجه به مدت 12 ساعت خشک گردید. نسبت گرافن اکسید به بتاسیکلودکسترنین نانوکامپوزیت 1 به 1 می‌باشد. شکل 1 به صورت شماتیک سنتز این نانوکامپوزیت را نشان می‌دهد.

تهیه محلول فری/فروسیانید

به منظور تهیه محلول فری/فروسیانید، 0.052g پتابسیم هگزا-سیانوفرید $_6$ (FeCN_6^{4-}) و 0.041g پتابسیم هگزا-سیانوفرات $_6$ ($\text{K}_3(\text{FeCN})_6$) درون 25mL



شکل ۱- طرح شماتیک سنتز نانوکامپوزیت گرافن بتاسیکلودکسترنی

ارتعاش خمثی قوی هیدروکسیل (OH) در ۳۴۲۹ cm^{-1} مشاهده می‌شود^(۱۵, ۱۹). مهم‌ترین نواهای مشاهده شده برای مولکول‌های بتاسیکلودکسترن (شکل ۲ منحنی b) شامل ارتعاشات کششی O-H و CH_2 و C-C به ترتیب در نواحی ۳۳۹۶ cm^{-1} , ۲۹۲۶ cm^{-1} و ۱۱۵۷ cm^{-1} , ارتعاشات خمثی O-H در ناحیه ۱۰۷۷ cm^{-1} می‌باشد^(۱۵, ۱۶). طیف جذبی نانوکامپوزیت گرافن-بتاسیکلودکسترن (شکل ۲ منحنی c) بسیاری از باندهای جذبی مشاهده شده برای طیف جذبی بتاسیکلودکسترن را نشان می‌دهد (برای مثال در ۹۴۳ cm^{-1} , ۱۰۲۰ cm^{-1}). حضور این باندهای جذبی خود می‌تواند تاییدی بر اتصال مولکول‌های بتاسیکلودکسترن بر روی سطح صفحات گرافنی باشد. به علاوه مشخص شده است زمانی که پیوند هیدروژنی شکل می‌گیرد، ارتعاش کششی O-H خاصیت Red-shift از خود نشان می‌دهد^(۲۰). همان‌گونه که در طیف جذبی کامپوزیت گرافن - بتاسیکلودکسترن و طیف جذبی بتا سیکلودکسترن دیده می‌شود، ارتعاش کششی O-H (۳۴۲۷ cm^{-1}) در کامپوزیت مربوطه نسبت به همین ارتعاش در طیف جذبی بتاسیکلودکسترن (۳۳۹۶ cm^{-1}) پدیده Red-shift می‌شود. این پدیده نیز می‌تواند تاییدی بر اتصال مولکول‌های بتاسیکلودکسترن به گرافن اکسید از طریق پیوند هیدروژنی باشد^(۲۱, ۱۵).

تصویربرداری با استفاده از میکروسکوپ الکترونی عبوری با بزرگنمایی بالا

در این قسمت از پژوهش با استفاده از میکروسکوپ الکترونی با حد تفکیک بالا (HRTEM)، شکل، نحوه توزیع و اندازه ذرات تهیه شده بررسی شد. این تصاویر از گرافن اکسید و نانوکامپوزیت گرافن بتاسیکلودکسترن گرفته شد. این تصاویر در شکل ۳ نشان داده شده‌اند. در تصویر مربوط به گرافن اکسید، چندلایه‌های گرافنی به وضوح مشخص می‌باشند. در این تصاویر صفحات گرافنی به صورت کاملاً مسطح دیده می‌شوند. همچنین، در تصویر نانوکامپوزیت گرافن بتاسیکلودکسترن، مولکول‌های بتاسیکلودکسترن به صورت نقاط سیاه رنگی بر روی صفحات گرافنی دیده می‌شوند.

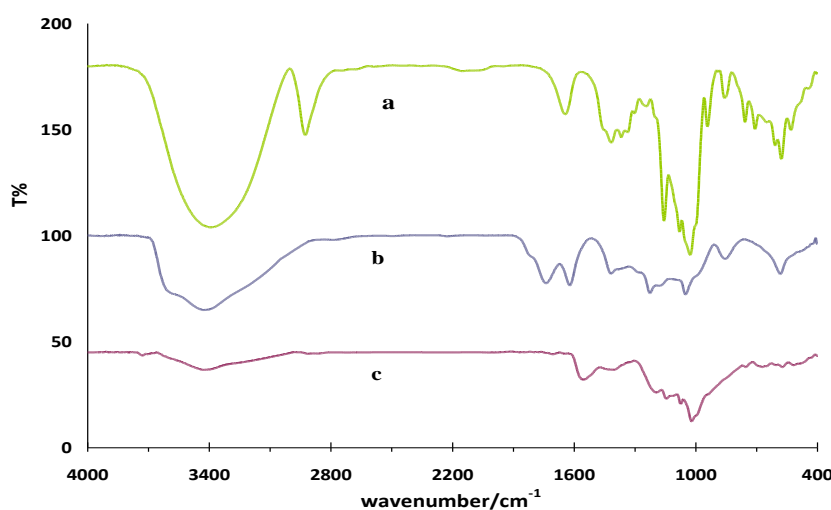
ساخت الکترود کربن شیشه‌ای اصلاح شده با گرافن اکسید، بتاسیکلودکسترن و نانوکامپوزیت گرافن بتاسیکلودکسترن

به منظور اصلاح سطح الکترود، محلول با غلظت ۴ میلی‌گرم بر میلی‌لیتر (غلظت بهینه شده) از ماده مورد نظر تهیه شده و برای مدت ۵ دقیقه درون دستگاه سونیکیتور قرار می‌گیرد تا بهخوبی یکنواخت و همگن گردد. سپس ۲ میکرولیتر از آن توسط میکروپیپت برداشته شده و بر روی سطح الکترود تمیز شده گذاشته می‌شود و درون فضای اتاق به مدت یک ساعت خشک می‌گردد. پس از خشک شدن سطح الکترود آزمایش‌های الکتروشیمیایی مورد نظر بر روی آن صورت می‌گیرد.

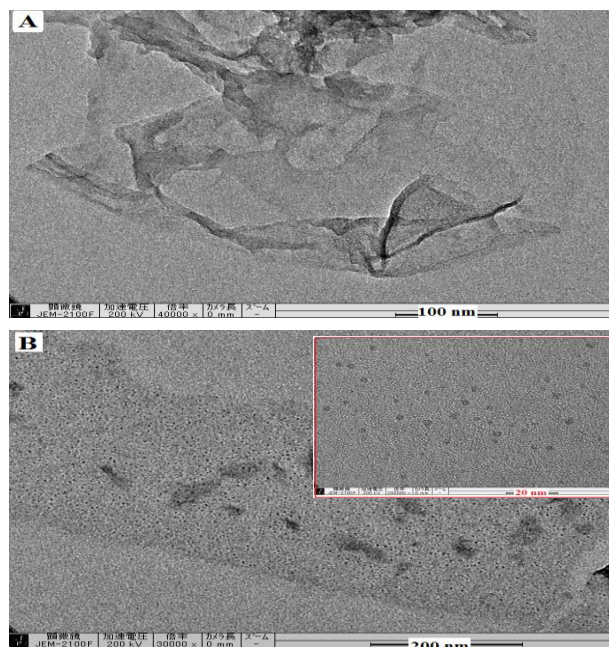
نتایج و بحث

مشخصه‌یابی مواد با استفاده از طیفسنجی مادون قرمز تبدیل فوریه

پس از ساختن گرافن اکسید و نانوکامپوزیت گرافن بتاسیکلودکسترن طیفسنجی مادون قرمز تبدیل فوریه بر روی سه ماده بتاسیکلودکسترن، گرافن اکسید و نانوکامپوزیت گرافن بتاسیکلودکسترن صورت گرفت. طیف مادون قمز مربوط به این سه ماده در شکل ۲ نشان داده شده است. در این بررسی‌ها به نحوه اتصال بتاسیکلودکسترن به گرافن اکسید پی‌برده شد. با انجام اکسیداسیون بر روی گرافیت و تشکیل اکسید گرافن ارتعاش پیوندهای کربن اکسیژن شامل گروه‌های هیدروکسیل، اپوکسی، کربونیل و کربوکسیل ظاهر شده است. در طیف مادون قمز گرافن اکسید (منحنی a) مشاهده می‌شود. دو نوار ارتعاش کششی در نواحی ۱۰۵۱ cm^{-1} و ۱۴۰۱ cm^{-1} مشاهده می‌شود که متعلق به کربن متصل به گروه هیدروکسیل و کربوکسیل است. همچنین نوار ارتعاش کششی مربوط به پیوندهای C-O-C از گروه اپوکسی در ناحیه ۱۲۲۶ cm^{-1} ظاهر شده است. از طرف دیگر دو نوار ارتعاش کششی مربوط به پیوند C=C متعلق به کربن-های اکسید نشده در ناحیه ۱۶۲۱ cm^{-1} و پیوند C=O گروه کربوکسیل در ناحیه ۱۷۳۸ cm^{-1} و در نهایت یک



شکل ۲- طیف FTIR مربوط به بتاسیکلودکستربین(a)، گرافن اکسید(b) و نانوکامپوزیت گرافن اکسید بتاسیکلودکستربین(c)



شکل ۳- تصاویر HRTEM از گرافن اکسید (شکل A) و نانوکامپوزیت گرافن- بتاسیکلودکستربین(شکل B)

بورسی الکتروشیمی الکترود اصلاح شده با گرافن اکسید و الکترود اصلاح شده با گرافن اکسید احیا شده- سیکلودکستربین با روش ولتا متري چرخه اي
نخستین برسی های الکتروشیمیایی انجام شده در این تحقیق آزمون های ولتا متري چرخه ای و امپدانس

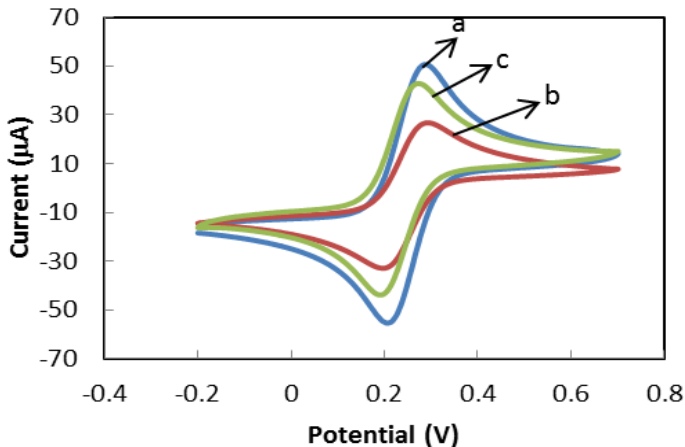
همان گونه که در شکل به وضوح مشخص است، این مولکول ها با توزیع تقریبا یکنواختی بر روی گرافن اکسید نشانده شده اند که این خود یکی از مهم ترین خصوصیات کامپوزیت ها می باشد و نشان دهنده سنتز صحیح این نانوکامپوزیت می باشد.

این پدیده می‌تواند علت اصلی کمتر بودن جریان عبوری از سطح این الکترود باشد. زمانی که گرافن اکسید احیا می‌شود، بسیاری از بارهای منفی سطح آن حذف می‌شوند. هرچند مولکول‌های بتاسیکلودکسترن نیز دارای گروه‌های اکسیژن‌دار با بار منفی می‌باشند، اما کاهش بارهای منفی گرافن اکسید حین احیا شدن بسیار بیش‌تر از بارهای منفی اضافه شده توسط مولکول‌های بتاسیکلودکسترن است؛ نتیجه آن که نانوکامپوزیت گرافن بتاسیکلودکسترن دارای بار منفی خالص بسیار کمتری نسبت به گرافن اکسید است. بنابر مطالعه گفته شده، زمانی که الکترود با نانوکامپوزیت مربوطه اصلاح می‌شود، دافعه بسیار کمتری بین یون‌های فری/فروسیانید و سطح الکترود ایجاد می‌شود. این پدیده نیز می‌تواند توجیحی برای بیش‌تر بودن جریان عبوری از سطح الکترود اصلاح شده با نانوکامپوزیت نسبت به الکترود اصلاح شده با گرافن اکسید باشد.

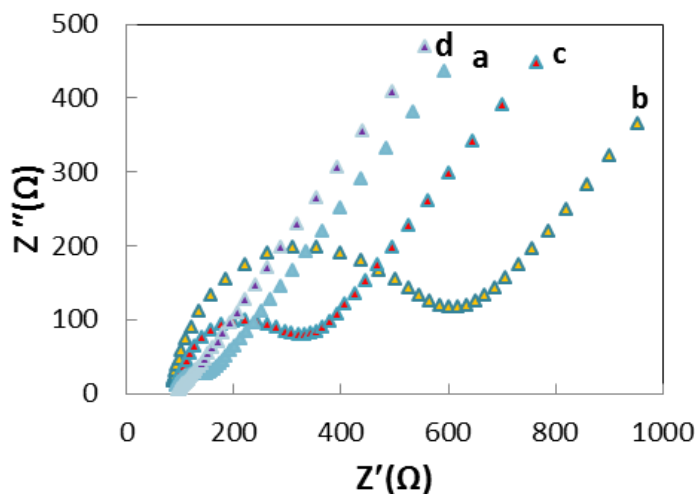
بررسی الکترودهای اصلاح شده با روش امپدانس الکتروشیمیایی

روش امپدانس الکتروشیمیایی یک روش بسیار موثر برای دنبال کردن تغییرات مقاومت بار سطح الکترود می‌باشد. به همین منظور الکترود کربن شیشه‌ای با اکسید گرافن، بتاسیکلودکسترن و نانوکامپوزیت گرافن بتاسیکلودکسترن اصلاح گردید و طیفسنجی امپدانس الکتروشیمیایی در پتانسیل ۰/۲۲ ولت در بازه فرکانسی ۱۰ کیلوهرتز تا ۱۰۰ میلیهرتز درون محلول ۵ میلی مولار فری/فروسیانید حاوی ۰/۳ مولار پتانسیم کلرید بر روی آن‌ها انجام گرفت. شعاع نیم دایره‌های منحنی‌های نایکوئیست نشان دهنده میزان مقاومت سطح الکترود می‌باشد و به عبارتی مقاومت انتقال بار بین الکترود و گونه مورد نظر را نشان می‌دهند. همان‌گونه که در شکل ۵ مشاهده می‌شود زمانی که الکترود کربن شیشه‌ای به طور مجزا توسط مولکول‌های بتاسیکلودکسترن و گرافن اکسید اصلاح می‌شود، شعاع نیم دایره‌های منحنی‌های نایکوئیست نسبت به الکترود اصلاح نشده افزایش می‌یابد؛ یعنی رسانایی سطح الکترود کاهش پیدا می‌کند(منحنی‌های b و c).

الکتروشیمیایی به منظور بررسی سطح موثر الکترودهای اصلاح شده و همچنین میزان رسانش سطح الکترود می‌باشد. منحنی‌های شکل ۴ مربوط به ولتاوی چرخه‌ای برای الکترود کربن شیشه‌ای (a)، الکترود کربن شیشه‌ای اصلاح شده با اکسید گرافن (c) و الکترود کربن شیشه‌ای اصلاح شده با نانوکامپوزیت گرافن- بتاسیکلودکسترن(b) می‌باشند. همه این آزمون‌ها درون محلول فری/فروسیانید با غلظت ۵ میلی‌مولار حاوی ۰/۳ مولار از پتانسیم کلرید در بازه پتانسیلی بین ۰/۲ - تا ۰/۸ ولت با سرعت روبش ۵۰ میلی‌ولت بر ثانیه صورت گرفت. در هر سه آزمون ولتاوی، غلظت محلول فری/فروسیانید یکسان و برابر با ۵ میلی‌مولار بود؛ ۱۱ یعنی تعداد الکترون‌های مبادله شده، ضریب نفوذ و سرعت روبش نیز در هر سه آزمون یکسان است بنابراین آنچه موجب تفاوت میزان جریان پیک می‌گردد، تفاوت در سطح موثر الکترود مورد آزمایش بوده است. بنابراین از روی جریان عبوری از سطح الکترود می‌توان به سطح موثر الکترود پی برد. همان‌گونه که در شکل ۴ مشاهده می‌شود از سطح الکترود کربن شیشه‌ای بیش‌ترین جریان عبور می‌کند؛ بنابراین می‌توان گفت که این الکترود بالاترین سطح موثر را در میان سایر الکترودها دارد و الکترود اصلاح شده با گرافن اکسید دارای کمترین سطح موثر و الکترود اصلاح شده با نانوکامپوزیت گرافن بتاسیکلودکسترن در میان این دو الکترود قرار می‌گیرد. زمانی که الکترود کربنی با گرافن اکسید و نانوکامپوزیت مربوطه اصلاح می‌گیرد به دلیل این که گرافن صفحه‌ای کاملاً مسطح است، تمام پستی و بلندی‌های سطح الکترود توسط این صفحات مسطح پوشانده می‌شود که این خود می‌تواند، موجب کاهش سطح موثر الکترود و در نتیجه کاهش جریان پیک شود؛ به همین دلیل جریان عبوری از سطح الکترود اصلاح نشده بیش‌تر از الکترودهای اصلاح شده است. همان‌گونه که در بخش‌های پیشین گفته شد. گرافن اکسید دارای گروه‌های اکسیژن- دار با بار منفی می‌باشد و یون‌های فری‌سیانید و فروسیانید نیز دارای بار منفی می‌باشند. بنابراین دافعه میان این بارهای منفی، مانع از نزدیک شدن یون‌ها به سمت سطح الکترود اصلاح شده با گرافن اکسید می‌شود.



شکل ۴- نمودارهای ولتاومتری چرخه‌ای برای الکترود کربن شیشه‌ای (a)؛ الکترود کربن شیشه‌ای اصلاح شده با نانوکامپوزیت گرافن بتاسیکلودکستربین (b) و الکترود کربن شیشه‌ای اصلاح شده با اکسید گرافن (c). در محلول ۵ میلی-مولار حاوی $\text{Fe}^{3+}/\text{Fe}^{2+}$ مولار پتانسیم کلرید در بازه‌ی پتانسیلی بین -0.2 تا 0.8 ولت



شکل ۵- نمودارهای نایکوئیست مربوط به: الکترود کربن شیشه‌ای (a)؛ الکترود اصلاح شده با مولکول‌های بتاسیکلودکستربین (b)؛ الکترود اصلاح شده با گرافن اکسید (c) و الکترود اصلاح شده با نانوکامپوزیت گرافن- بتاسیکلودکستربین (d). در محلول ۵ میلی‌مولار حاوی $\text{Fe}^{3+}/\text{Fe}^{2+}$ مولار پتانسیم کلرید

سیانید از سطح الکترود می‌شوند و انتقال الکترون را کند می‌کنند. این دو پدیده می‌تواند توجیح مناسبی برای کمتر بودن رسانایی الکترود اصلاح شده با گرافن اکسید نسبت به الکترود اصلاح نشده باشد؛ اما زمانی که گرافن اکسید احیا می‌شود، رسانایی آن افزایش و بارهای منفی آن کاهش می‌یابد. در مجموع این دو واقعه منجر به تسهیل انتقال الکtron در سطح الکترود و کاهش قابل توجهی در مقاومت بار می‌شود.

اما هنگامی که الکترود با نانوکامپوزیت گرافن بتاسیکلودکستربین اصلاح می‌شود (منحنی d) بخش نیم دایره‌ای این نمودار به میزان چشم‌گیری کاهش می‌یابد. به این معنی که رسانایی سطح الکترود بسیار افزایش یافته است. گرافن اکسید، مولکولی نیمه‌رسانا است و زمانی که بر روی سطح الکترود نشانده می‌شود، مقاومت انتقال بار را افزایش می‌دهد. در ضمن این ماده به دلیل حضور گروههای اکسیژن‌دار دارای بارهای منفی می‌باشد؛ این بارهای منفی خود، باعث دفع یون‌های فرو/فری-

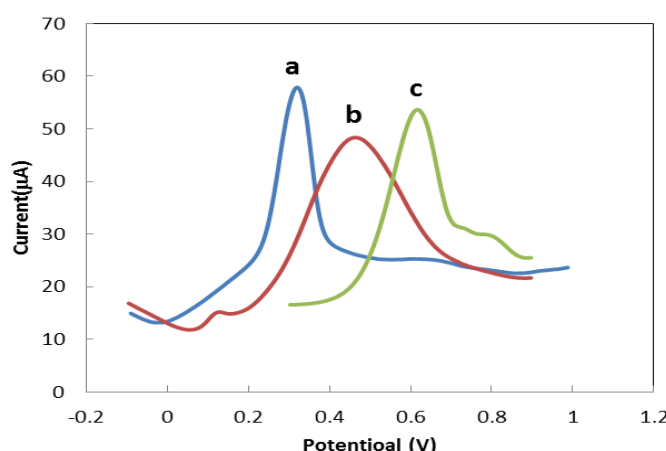
تناسب ابعادی و آبگریز بودن به خوبی جذب حفره مولکول‌های بتاسیکلودکسترن شده و بر روی الکترود کربنی متحمل اکسایش می‌گردد. با توجه به اینکه هر سه دارو در پتانسیلی مشخص و متفاوت متحمل اکسایش می‌گردد، از نانوکامپوزیت گرافن بتاسیکلودکسترن می‌توان به طور موثر جهت شناسایی این داروها استفاده کرد.

نتیجه‌گیری

در این پژوهش یک نانوحسگر الکتروشیمیایی حساس، ساده و ارزان برای شناسایی داروهای کورکومین، کلروپرومازین و کلومیپرامین طراحی و ساخته شد. برای این کار از نانوکامپوزیت گرافن بتاسیکلودکسترن بر روی الکترود کربن شیشه‌ای استفاده شد. نتایج نشان داد نانوکامپوزیت گرافن-بتاسیکلودکسترن می‌تواند به طور ویژه سرعت انتقال الکترون در سطح الکترود را افزایش دهد و بستر مناسبی جهت کاربردهای حسگری را فراهم کند. از این رو سه داروی مذکور توسط این حسگر به طور موثر شناسایی شدند. حسگر ساخته شده می‌تواند به عنوان یک مدل برای ساختن حسگرهای الکتروشیمیایی به کار رود.

بررسی الکتروشیمی داروهای کورکومین، کلروپرومازین و کلومیپرامین با استفاده از روش ولتاوتمتری پالس تفاضلی

در این پژوهش به منظور شناسایی و بررسی رفتار الکتروشیمیایی کورکومین، کلروپرومازین و کلومیپرامین از الکترود کربن شیشه‌ای اصلاح شده با نانوکامپوزیت گرافن بتاسیکلودکسترن استفاده شد. تکنیک ولتاوتمتری پالس تفاضلی برای شناسایی الکتروشیمیایی این سه دارو به کار رفت. به همین منظور محلول ۱۰ میلی مولار از این داروها با حلال دی متیل سولفوكسید تهیه شد. الکترود کربنی اصلاح شده با نانوکامپوزیت گرافن بتاسیکلودکسترن درون این محلول شناور شد و پس از آبکشی الکترود، تحت آزمون ولتاوتمتری پالس تفاضلی در محدوده پتانسیلی مشخص با سرعت روبش ۱۰ میلی-ولت بر ثانیه قرار گرفت. در شکل ۶ نمونه‌ای از منحنی‌های ولتاوتمتری پالس تفاضلی برای این داروها نشان داده شده است. همان‌گونه که در شکل‌ها مشخص است، برای کورکومین در پتانسیل ۰/۴۸ ولت پیک اکسایشی مشاهده می‌شود. داروی کلروپرومازین در پتانسیل ۰/۶۱ ولت و داروی کلومیپرامین در پتانسیل ۰/۳۱ ولت متحمل اکسایش می‌شود. با توجه به نتایج به دست آمده می‌توان پی‌برد که این سه دارو به دلیل



شکل ۶- ولتاوگرام پالس تفاضلی برای الکترود کربنی اصلاح شده با نانوکامپوزیت گرافن- بتاسیکلودکسترن انکوبه شده در محلول ۰/۱ میلی مولار کلومیپرامین (a)، کورکومین (b) و کلروپرومازین (c). زمان انکوباسیون ۳۰ دقیقه؛ تمامی تست‌ها درون بافر فسفات (pH=7) گرفته شد

References:

- 1- J. E. Frew, H. A. O. Hill, Electrochemical biosensors. *Analytical Chemistry* 59, 933A-944A ,1987.
- 2- F. Berti, A. P. Turner, New Micro-and Nanotechnologies for Electrochemical Biosensor Development .*Nanomaterials for the Life Sciences*, 2011.
- 3- J. Wang, Nanomaterial-based electrochemical biosensors. *Analyst* 130, 421-426, 2005.
- 4- K. S. Novoselov, A. K. Geim, S. Morozov, D. Jiang, Y. Zhang, S. Dubonos, I. Grigorieva, A. Firsov, Electric field effect in atomically thin carbon films. *science* 306, 666-669 ,2004.
- 5- M. J. Allen, V. C. Tung, R. B. Kaner, Honeycomb carbon: a review of graphene. *Chemical reviews* 110, 132-145 ,2009.
- 6- Y. Shao, J. Wang, H. Wu, J. Liu, I. A. Aksay, Y. Lin, Graphene based electrochemical sensors and biosensors: a review. *Electroanalysis* 22, 1027-1036 ,2010.
- 7- S. Alwarappan, C. Liu, A. Kumar, C.-Z. Li, Enzyme-doped graphene nanosheets for enhanced glucose biosensing. *The Journal of Physical Chemistry C* 114, 12920-12924 ,2010.
- 8- S. Alwarappan, A. Erdem, C. Liu, C.-Z. Li, Probing the electrochemical properties of graphene nanosheets for biosensing applications. *The Journal of Physical Chemistry C* 113, 8853-8857 ,2009.
- 9- E. Norkus, Metal ion complexes with native cyclodextrins. An overview. *Journal of Inclusion Phenomena and Macrocyclic Chemistry* 65, 237-248 ,2009.
- 10- E. M. Del Valle, Cyclodextrins and their uses: a review. *Process biochemistry* 39, 1033-1046,2004.
- 11- A. Zarrabi, M. Adeli, M. Vossoughi, M. A. Shokrgozar, Design and synthesis of novel polyglycerol hybrid nanomaterials for potential applications in drug delivery systems. *Macromolecular bioscience* 11, 383-390 ,2011.
- 12- A. Zarrabi, M. Shokrgozar, M. Vossoughi, M. Farokhi, In vitro biocompatibility evaluations of hyperbranched polyglycerol hybrid nanostructure as a candidate for nanomedicine applications. *J Mater Sci: Mater Med* 25, 499-506 , 2014.
- 13- A. Zarrabi, M. Vossoughi, Paclitaxel/ β -CD-g-PG inclusion complex: an insight into complexation thermodynamics and guest solubility. *Journal of Molecular Liquids* 208, 145-150 , 2015.
- 14- A. Amiri, F. Hafezi, Design and fabrication of Nanotechnologies for Electrochemical Biosensor Development .*Nanomaterials for*,30-11, 2013.
- 15- Y. Guo, S. Guo, J. Ren, Y. Zhai, S. Dong, E. Wang, Cyclodextrin functionalized graphene nanosheets with high supramolecular recognition capability: synthesis and host–guest inclusion for enhanced electrochemical performance. *Acs Nano* 4, 4001-4010, 2010.
- 16- M. Chen, Y. Meng, W. Zhang, J. Zhou, J. Xie, G. Diao, β -Cyclodextrin polymer functionalized reduced-graphene oxide: Application for electrochemical determination imidacloprid. *Electrochimica Acta* 108, 1-9 , 2013.
- 17- K. Oldham, D. Raleigh, Modification of the Cottrell Equation to Account for Electrode Growth; Application to Diffusion Data in the Ag-Au System. *Journal of The Electrochemical Society* 118, 252-255, 1971.
- 18- D. C. Marcano, D. V. Kosynkin, J. M. Berlin, A. Sinitskii, Z. Sun, A. Slesarev, L. B. Alemany, W. Lu, J. M. Tour, Improved synthesis of graphene oxide. *ACS nano* 4, 4806-4814 , 2010.
- 19- Z. Baesik, J. Mink, G. Keresztfury, FTIR spectroscopy of the atmosphere. I. Principles and methods. *Applied spectroscopy reviews* 39, 295-363, 2004.

20- L. Scatena, M. Brown, G. Richmond, Water at hydrophobic surfaces: weak hydrogen bonding and strong orientation effects. *Science* 292, 908-912 , 2001.

21- H. Hu, J. H. Xin, H. Hu, X. Wang, X. Lu, Organic Liquids-Responsive β -Cyclodextrin-Functionalized Graphene-Based Fluorescence Probe: Label-Free Selective Detection of Tetrahydrofuran. *Molecules* 19, 7459-7479 , 2014.

